



1.

$$\bar{P}(t) = (\text{Open}(t), \text{High}(t), \text{Low}(t), \text{Close}(t)),$$

t,

« »

[1, . 40-42].

2.

1.

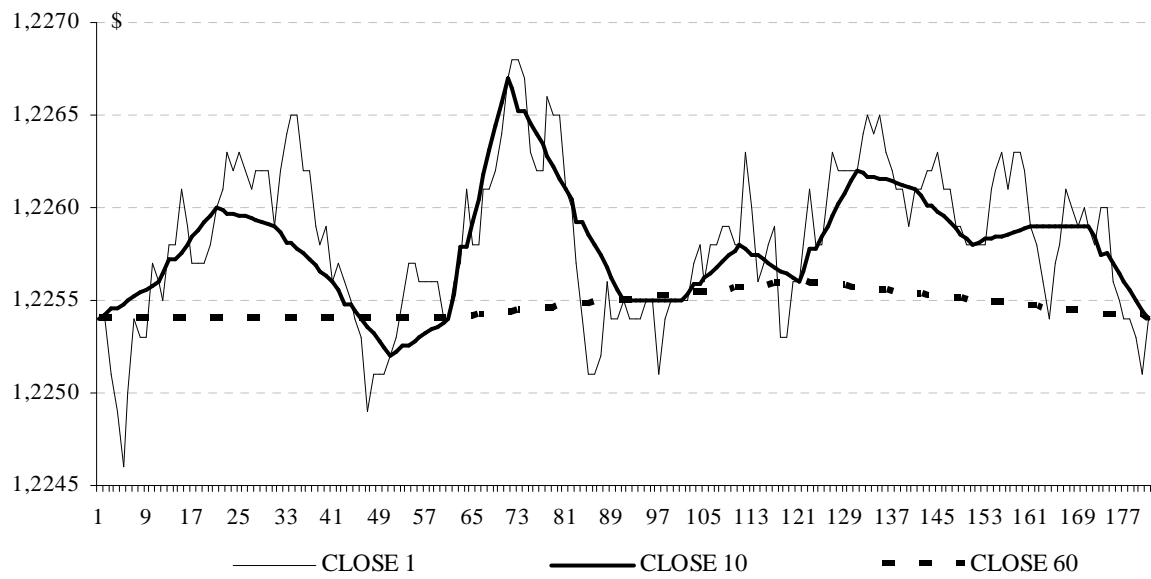
2.

3.

4.

« »

5.



.1. [ ] ( )

.1

Close. ( — 1 ); ( — 10 ); ( — 60 ).

:

( ).

t

t

( ) [1, .136].

18.08.1998,

ARIMA [8],

— [High(t) ÷ Low(t)].

$$M = F(\Delta t, P1_i(t), P2_i(t), m, N), \quad (1)$$

MP — ;  $\Delta t$  — ;  $P1_i(t)$  —  
 ;  $m$  — ;  $P2_i(t)$  — ;  $P1_i(t)$  —  
 ;  $N$  —  
 (  $P1_i(t)$   $P2_i(t)$ , );  $F$  —

GR ( )

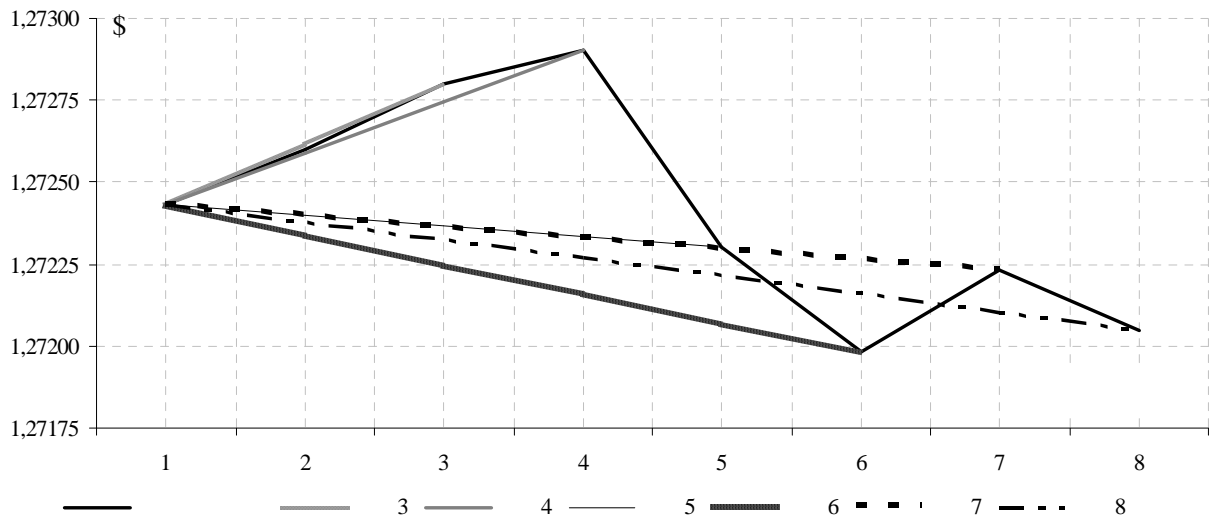
GR ( )

GR > 0 GR > 0,

GR < 0 GR < 0—

( )

.2.



.2.

( )

( .2 — 1).

.2.

$$(GR \cdot GR > 0) \cap (GR > 0);$$

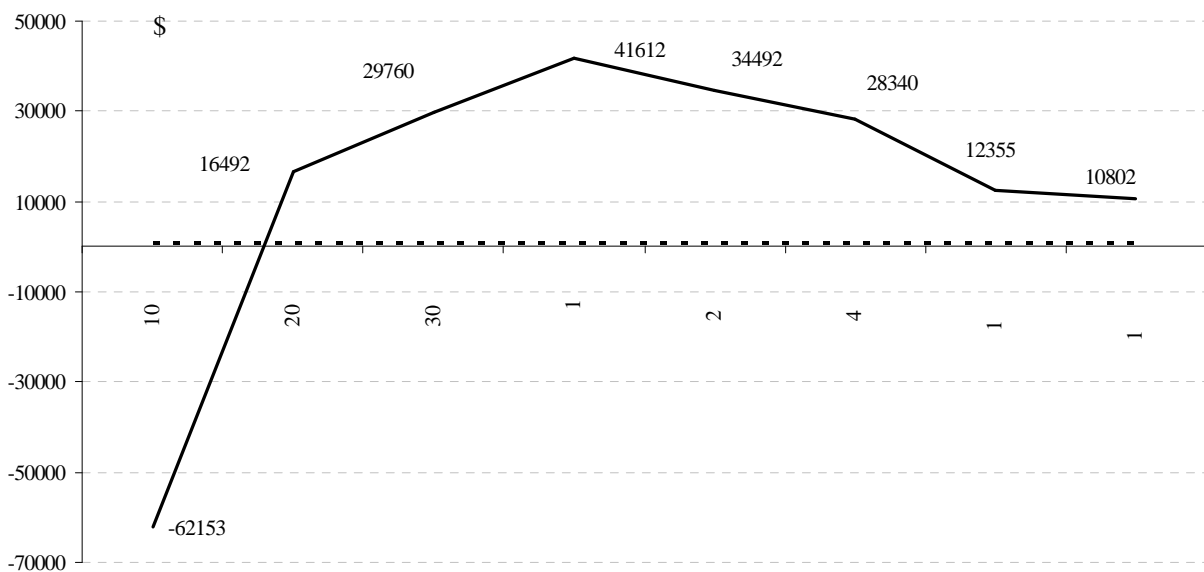
(2)

$$(GR \cdot GR > 0) \cap (GR < 0);$$

(USD/EUR, USD/GBP)

FOREX

( .3).



. 3.

( )

,

1)

2)

3)

4)

1.

2.

3.

4.

6.

7.

8.

3. Mandelbrot Benoit B. The Fractal Geometry of Nature / Benoit B. Mandelbrot. — San Francisco: W.H. Freeman and Company, 1982. — 287 p.

4. c . : . — . : , 2000. — 333 .

5. Radizicki M. Institutional Dynamics, Deterministic Chaos, and Self-Organizing Systems // Journal of Economic Issues / M. Radizicki. — 1990. — Vol.24. — P. 204-212.

6. // « » . — : « », 2004. — 25. — . 101-104.

7. FOREX : 08.00.11. — , 2010. — 191 .

8. ARIMA / [ : 26.09.14 ] . — : https://ru.wikipedia.org/wiki/ARIMA.(